

This Page Is Inserted by IFW Operations  
and is not a part of the Official Record

## **BEST AVAILABLE IMAGES**

Defective images within this document are accurate representations of the original documents submitted by the applicant.

Defects in the images may include (but are not limited to):

- BLACK BORDERS
- TEXT CUT OFF AT TOP, BOTTOM OR SIDES
- FADED TEXT
- ILLEGIBLE TEXT
- SKEWED/SLANTED IMAGES
- COLORED PHOTOS
- BLACK OR VERY BLACK AND WHITE DARK PHOTOS
- GRAY SCALE DOCUMENTS

**IMAGES ARE BEST AVAILABLE COPY.**

**As rescanning documents *will not* correct images,  
please do not report the images to the  
Image Problem Mailbox.**

**PCT**WELTOORGANISATION FÜR GEISTIGES EIGENTUM  
Internationales BüroINTERNATIONALE ANMELDUNG VERÖFFENTLICH NACH DEM VERTRAG ÜBER DIE  
INTERNATIONALE ZUSAMMENARBEIT AUF DEM GEBIET DES PATENTWESENS (PCT)

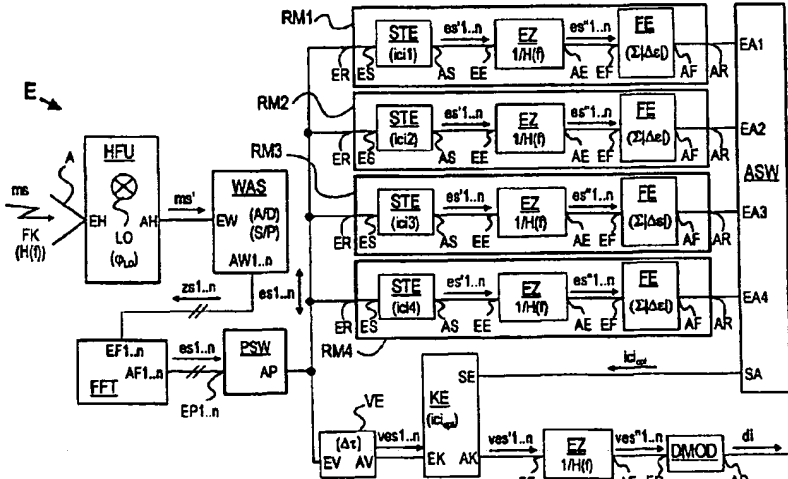
(51) Internationale Patentklassifikation <sup>7</sup> :  H04L 27/26, 25/03	A1	(11) Internationale Veröffentlichungsnummer: WO 00/60822  (43) Internationales Veröffentlichungsdatum: 12. Oktober 2000 (12.10.00)
(21) Internationales Aktenzeichen: PCT/DE00/00699  (22) Internationales Anmeldedatum: 6. März 2000 (06.03.00)		(81) Bestimmungsstaaten: CN, JP, US, europäisches Patent (AT, BE, CH, CY, DE, DK, ES, FI, FR, GB, GR, IE, IT, LU, MC, NL, PT, SE).
(30) Prioritätsdaten: 199 14 797.3 31. März 1999 (31.03.99) DE		<b>Veröffentlicht</b> Mit internationalem Recherchenbericht. Vor Ablauf der für Änderungen der Ansprüche zugelassenen Frist; Veröffentlichung wird wiederholt falls Änderungen eintreffen.
(71) Anmelder ( <i>für alle Bestimmungsstaaten ausser US</i> ): SIEMENS AKTIENGESELLSCHAFT [DE/DE]; Wittelsbacherplatz 2, D-80333 München (DE).		
(72) Erfinder; und (75) Erfinder/Anmelder ( <i>nur für US</i> ): ZIRWAS, Wolfgang [DE/DE]; Mittenwalder Strasse 136, D-82194 Gröbenzell (DE).		
(74) Gemeinsamer Vertreter: SIEMENS AKTIENGESELLSCHAFT; Postfach 22 16 34, D-80506 München (DE).		

(54) Title: METHOD, USE OF SAID METHOD AND RECEIVER SYSTEM FOR RECEIVING MULTI-CARRIER SIGNALS PRESENTING SEVERAL FREQUENCY-DISCRETE SUBCARRIERS

(54) Bezeichnung: VERFAHREN, VERWENDUNG DES VERFAHRENS UND EMPFANGSANORDNUNG ZUM EMPFANG VON MEHRERE FREQUENZDISKRETE SUBTRÄGER AUFWEISENDEN MULTITRÄGERSIGNALEN

## (57) Abstract

In a received multi-carrier signal (ms) which presents subcarrier-specific interference (ici0) caused by adjacent subcarriers (st1...n) said subcarriers (st1...n) are additionally subjected to interference in a targeted manner and a correction information (iciopt) which represents the subcarrier-specific interference (ici0) is derived from the subcarriers (st1...n). The received subcarriers (st1...n) are then corrected by means of the correction information. Low-cost oscillators can advantageously be used to produce economical transmitter and receiver units.



**(57) Zusammenfassung**

Bei einem empfangenen Multiträgersignal ( $m_s$ ), welches durch benachbarte Subträger ( $st1...n$ ) verursachte, subträgerspezifische Störungen ( $ici0$ ) aufweist, werden die Subträger ( $st1...n$ ) zusätzlich gezielt gestört und aus den zusätzlich gezielt gestörten Subträgern ( $st1...n$ ) eine die subträgerspezifischen Störungen ( $ici0$ ) repräsentierende Korrekturinformation ( $ici_{op}$ ) abgeleitet, mit welcher die empfangenen Subträger ( $st1...n$ ) anschließend korrigiert werden. Vorteilhaft können kostengünstige Oszillatoren zur Realisierung von wirtschaftlich günstigen Sende- und Empfangseinheiten eingesetzt werden.

**LEDIGLICH ZUR INFORMATION**

Codes zur Identifizierung von PCT-Vertragsstaaten auf den Kopfbögen der Schriften, die internationale Anmeldungen gemäss dem PCT veröffentlichen.

AL	Albanien	ES	Spanien	LS	Lesotho	SI	Slowenien
AM	Armenien	FI	Finnland	LT	Litauen	SK	Slowakei
AT	Österreich	FR	Frankreich	LU	Luxemburg	SN	Senegal
AU	Australien	GA	Gabun	LV	Lettland	SZ	Swasiland
AZ	Aserbaidschan	GB	Vereinigtes Königreich	MC	Monaco	TD	Tschad
BA	Bo森ien-Herzegowina	GE	Georgien	MD	Republik Moldau	TG	Togo
BB	Barbados	GH	Ghana	MG	Madagaskar	TJ	Tadschikistan
BE	Belgien	GN	Guinea	MK	Die ehemalige jugoslawische Republik Mazedonien	TM	Turkmenistan
BF	Burkina Faso	GR	Griechenland	ML	Mali	TR	Türkei
BG	Bulgarien	HU	Ungarn	MN	Mongolei	TT	Trinidad und Tobago
RJ	Benin	IE	Irland	MR	Mauritanien	UA	Ukraine
BR	Brasilien	IL	Israel	MW	Malawi	UG	Uganda
BY	Belarus	IS	Island	MX	Mexiko	US	Vereinigte Staaten von Amerika
CA	Kanada	IT	Italien	NE	Niger	UZ	Usbekistan
CF	Zentralafrikanische Republik	JP	Japan	NL	Niederlande	VN	Vietnam
CG	Kongo	KE	Kenia	NO	Norwegen	YU	Jugoslawien
CH	Schweiz	KG	Kirgisistan	NZ	New Zealand	ZW	Zimbabwe
CI	Côte d'Ivoire	KP	Demokratische Volksrepublik Korea	PL	Polen		
CM	Kamerun	KR	Republik Korea	PT	Portugal		
CN	China	KZ	Kasachstan	RO	Rumänien		
CU	Kuba	LC	St. Lucia	RU	Russische Föderation		
CZ	Tschechische Republik	LI	Liechtenstein	SD	Sudan		
DE	Deutschland	LK	Sri Lanka	SE	Schweden		
DK	Dänemark	LR	Liberia	SG	Singapur		

**Description**

**5**

**10**

**15**

**20**

**25**

**30**

**35**

**40**

**45**

**50**

**55**

5

1

## Beschreibung

Verfahren, Verwendung des Verfahrens und Empfangsanordnung zum Empfang von mehrere frequenzdiskrete Subträger aufweisen-  
den Multiträgersignalen.

Bei drahtlosen, auf Funkkanälen basierenden Kommunikations-  
netzen, insbesondere bei Punkt-zu-Multipunkt Funk-Zubringer-  
netzen - auch als "Radio In The Local Loop" bzw. "RLL" be-  
zeichnet - sind mehrere Netzabschlußeinheiten jeweils über  
einen oder mehrere Funkkanäle an eine Basisstation - auch als  
"Radio Base Station" bzw. "RBS" bezeichnet - angeschlossen.

Im telcom report Nr. 18 (1995), Heft 1 "Drahtlos zum Freizei-  
chen", Seite 36, 37 ist beispielsweise ein drahtloses Zubrin-  
gernetz für die drahtlose Sprach- und Datenkommunikation be-  
schrieben. Das beschriebene Kommunikationssystem stellt einen  
RLL-Teilnehmeranschluß in Kombination mit moderner Breitband-  
Infrastruktur - z.B. "Fiber to the curb" - dar, welches in  
kurzer Zeit und ohne größeren Aufwand anstelle der Verlegung  
von drahtgebundenen Anschlußleitungen realisierbar ist. Die  
den einzelnen Teilnehmern zugeordneten Netzabschlußeinheiten  
RNT sind über das Übertragungsmedium "Funkkanal" und die Ba-  
sisstation RBS an ein übergeordnetes Kommunikationsnetz, bei-  
spielsweise an das ISDN-orientierte Festnetz, angeschlossen.

Durch die zunehmende Verbreitung von Multimedia-Anwendungen  
müssen hochbitratige Datenströme schnell und sicher über Kom-  
munikationsnetze, insbesondere über drahtlose Kommunikations-  
netze bzw. über Mobilfunksysteme übertragen werden, wobei  
hohe Anforderungen an die Funkübertragungssysteme, welche auf  
einem störanfälligen und hinsichtlich der Übertragungs-  
qualität schwer einzuschätzenden Übertragungsmedium "Funkka-  
nal" basieren, gestellt werden. Ein Übertragungsverfahren zur  
Übertragung von breitbandigen Datenströmen - z.B. von Video-  
datenströmen - stellt beispielsweise das auf einem sogenann-  
ten Multiträgerverfahren basierende OFDM-Übertragungsverfah-  
ren - auch als Orthogonal Frequency Division Multiplexing

5

2

OFDM bezeichnet - dar. Bei der OFDM-Übertragungstechnik werden die zu übermittelnden Informationen bzw. wird der zu übermittelnde Datenstrom innerhalb des Funkkanals auf mehrere Subkanäle bzw. Subträger aufgeteilt bzw. parallelisiert, wo-  
bei die zu übermittelnden Informationen jeweils mit einer relativ geringen Datenrate, jedoch in additiv überlagerter Form parallel übertragen werden. Die OFDM-Übertragungstechnik wird beispielsweise beim Digitalen Terrestrischen Rundfunk - auch als Digital Audio Broadcasting DAB bezeichnet - und für das Digitale Terrestrische Fernsehen - auch als Digital Terrestrial Video Broadcasting DTVB bezeichnet - eingesetzt. Insbesondere soll die OFDM-Übertragungstechnik in zukünftigen drahtlosen lokalen Kommunikationsnetzen - auch als Wireless LAN bzw. WLAN bezeichnet - und in zukünftigen Mobilfunk-Kommunikationsnetzen - z.B. UMTS - eingesetzt werden. Die OFDM-Übertragungstechnik findet auch bei zukünftigen Zugriffsverfahren wie beispielsweise MC-SSMA - Multi-Carrier Spread Spectrum Multiple Access oder MC-CDMA - Multi-Carrier CDMA - Verwendung.

30

20

In der Druckschrift "Mitteilungen der TU-Braunschweig, Mobilfunktechnik für Multimedia-Anwendungen", Professor H. Rohling, Jahrgang XXXI, Heft 1-1996 ist in Abbildung 6, Seite 46 das OFDM-Übertragungsverfahren näher beschrieben. Hierbei wird ausgehend von einem seriellen Datenstrom im Sender für die Modulation der beispielsweise n Subträger eine Seriell/Parallelwandlung durchgeführt, wobei für den zeitlich i-ten OFDM-Block mit der Blocklänge  $T'$  und dem j-ten Subträger jeweils ein binäres Codewort mit der Wortbreite k - die Wortbreite k ist vom eingesetzten Modulationsverfahren abhängig - gebildet wird. Aus den gebildeten Codewörtern werden mit Hilfe eines senderspezifischen Modulationsverfahrens die entsprechenden komplexen Modulationssymbole - im folgenden auch als Sendesymbole bezeichnet - gebildet, wobei zu jedem Zeitpunkt i jedem der k Subträger ein Sendesymbol zugeordnet ist. Der Abstand der einzelnen Subträger ist durch  $\Delta f = 1/T'$  festgelegt, wodurch die Orthogonalität der einzelnen Subträgersi-

55

5

3

gnale im Nutzintervall  $[0, T']$  garantiert wird. Durch Multiplikation der Schwingungen der einzelnen Subträger mit den entsprechenden Modulationssymbolen bzw. Sendesymbolen und der anschließenden Addition der gebildeten Modulationsprodukte

10

5 wird das entsprechende zeitdiskrete Sendesignal für den zeitlich i-ten OFDM-Block erzeugt. Dieses Sendesignal wird in abgetasteter, d.h. zeitdiskreter Form durch eine Inverse, Dis-

15

krete Fourier-Transformation - IDFT - direkt aus den Modulationssymbolen bzw. Sendesymbolen der einzelnen betrachteten

10 Subträger berechnet. Zur Minimierung von Intersymbol-Inter-

20

ferenzen wird jedem OFDM-Block im Zeitbereich ein Guard-Intervall  $T_G$  vorangestellt, was einer Verlängerung des zeit-

diskreten OFDM-Signals im Intervall  $[-T_G, 0]$  bewirkt - ver-

gleiche "Mitteilungen der TU-Braunschweig, Mobilfunktechnik

15 für Multimedia-Anwendungen", Abbildung 7. Das eingefügte

25

Guard-Intervall  $T_G$  entspricht vorteilhaft der maximal auftretenden Laufzeitdifferenz zwischen den einzelnen bei der

Funkübertragung entstehenden Ausbreitungspfaden. Durch das

empfängerseitige Entfernen des hinzugefügten Guard-Intervalls

30

20  $T_G$  wird beispielsweise eine Störung des i-ten OFDM-Blocks durch das zeitlich benachbarte OFDM-Signal zum Zeitpunkt  $i-1$  vermieden, so daß im Intervall  $[0, T']$  das Sendesignal über

sämtliche Umwegpfade empfangen wird und die Orthogonalität

35

zwischen den Subträgern im vollen Maße im Empfänger erhalten

25 bleibt. Bei einer großen Anzahl von Subträgern -

beispielsweise  $n = 256$  Subträger - und entsprechend langen

Symboldauern  $T = T' + T_G$  ist die Dauer  $T_G$  klein gegenüber  $T$ ,

40

so daß die Einfügung des Guard-Intervalls die Bandbreite effizient nicht wesentlich beeinträchtigt und ein nur geringer

30 Overhead entsteht. Nach Abtastung des am Eingang des Empfängers empfangenen Sendesignals im Basisband - durch einen A/D-

45

Wandler - und nach Extraktion des Nutzintervalls - d.h. nach Beseitigung des Guard-Intervalls  $T_G$  - wird mit Hilfe einer

Diskreten Fourier-Transformation - DFT - das empfangene Sen-

35 designal in den Frequenzbereich transformiert, d.h. es werden

50

die empfangenen Modulationssymbole bzw. die empfangenen

Empfangssymbole bestimmt. Aus den bestimmten Empfangssymbolen

5

4

werden mittels eines geeigneten Demodulationsverfahrens die entsprechenden Empfangs-Codewörter erzeugt und aus diesen wird durch Parallel/Seriell-Wandlung der empfangene, serielle Datenstrom gebildet. Durch die Vermeidung von Intersymbol-Interferenzen bei OFDM-Übertragungsverfahren wird der Rechenaufwand im jeweiligen Empfänger erheblich reduziert, wodurch die OFDM-Übertragungstechnik beispielsweise für die terrestrische Übertragung digitaler Fernsehsignale eingesetzt wird - beispielsweise zur Übertragung von breitbandigen Datenströmen mit einer Übertragungsrate von 34 MBit/s pro Funkkanal.

20

20

25

30

35

40

45

50

Für die Übermittlung des mit Hilfe des OFDM-Übertragungsverfahrens zu übermittelnden, seriellen Datenstromes werden absolute bzw. differentielle Modulationsverfahren sowie entsprechende kohärente bzw. inkohärente Demodulationsverfahren eingesetzt. Beispiele für ein absolutes Modulationsverfahren sind die 4-QAM oder 16-QAM - Quadratur Amplituden Modulation. Obwohl bei der Übermittlung des gebildeten Sendesignals über das Übertragungsmedium "Funkkanal" die Orthogonalität der Subträger durch den Einsatz des OFDM-Übertragungsverfahrens im vollen Umfang erhalten bleibt, werden durch die Übertragungseigenschaften des Funkkanals die übertragenen, frequenzdiskreten, bzw. frequenzselektiven Sendesymbole sowohl in der Phase als auch in der Amplitude verändert. Der Amplitudens- und Phaseneinfluß des Funkkanals erfolgt subträgerspezifisch auf den einzelnen jeweils sehr schmalbandigen Subträgern; zudem überlagern Rauschsignale additiv das übertragene Nutzsignal. Bei Einsatz von kohärenten Demodulationsverfahren ist eine Kanalschätzung erforderlich, die je nach Qualitätsanforderungen auf einen erheblichen technischen und wirtschaftlichen Realisierungsaufwand beruhen und zudem die Leistungsfähigkeit des Übertragungssystems vermindern. Vorteilhaft werden differentielle Modulationsverfahren sowie entsprechende inkohärente Demodulationsverfahren eingesetzt, bei denen auf eine aufwendige Funkkanalschätzung verzichtet werden kann. Bei differentiellen Modulationsverfahren werden

55

5

5

die zu übermittelnden Informationen nicht durch Auswahl der Modulationssymbole bzw. der frequenzdiskreten Sendesymbole direkt übertragen, sondern durch Änderung der zeitlich benachbarten, frequenzdiskreten Sendesymbole auf dem selben Subträger. Beispiele für differentielle Modulationsverfahren sind die 64-stufige 64-DPSK - Differential Phase Shift Keying - sowie die 64-DAPSK - Differential Amplitude and Phase Shift Keying. Bei der 64-DAPSK werden sowohl die Amplitude als auch gleichzeitig die Phase differentiell moduliert.

10

Subträger. Beispiele für differentielle Modulationsverfahren sind die 64-stufige 64-DPSK - Differential Phase Shift Keying - sowie die 64-DAPSK - Differential Amplitude and Phase Shift Keying. Bei der 64-DAPSK werden sowohl die Amplitude als auch gleichzeitig die Phase differentiell moduliert.

15

Bei großen Laufzeitunterschieden zwischen den einzelnen Signalpfaden, d.h. bei starker Mehrwegeausbreitung, können unterschiedliche, übertragungskanalbedingte Dämpfungen zwischen den einzelnen empfangenen Subträgern mit Dämpfungsunterschieden bis zu 20 dB und mehr auftreten. Die empfangenen, hohe

20

Dämpfungswerte aufweisenden Subträger, bzw. die Subträger mit kleinen S/N-Werten - auch als Signalleistung-zu-Rauschleistung-Verhältnis bezeichnet - weisen eine sehr große Symbolfehlerrate auf, wodurch die Gesamt-Bitfehlerrate über alle

25

Subträger erheblich steigt. Es ist bereits bekannt, bei mit Hilfe von kohärenten Modulationsverfahren modulierten Subträgern, die durch die frequenzselektiven Übertragungseigenschaften des Übertragungsmediums - auch als Übertragungsfunktion  $H(f)$  bezeichnet - verursachten Dämpfungsverluste,

30

empfangsseitig mit Hilfe der inversen Übertragungsfunktion - auch als  $1/H(f)$  bezeichnet - zu korrigieren, wobei die frequenzselektiven Dämpfungsverluste beispielsweise durch Auswertung von übermittelten, jeweils bestimmten Subträgern zugeordneten Referenz-Pilottonen ermittelt werden.

35

Üblicherweise werden die an einem Empfänger eingehenden OFDM-Signale mit Hilfe eines in einer Hochfrequenzeinheit - auch als HF-Frontend bezeichnet - angeordneten lokalen Oszillators in Zwischenfrequenzband oder Basisband gemischt. Die jeweils auf der Sende- als auch auf der Empfangsseite angeordneten lokalen Oszillatoren weisen je nach Qualität und Güte unterschiedliche Frequenzschwankungen und unterschiedliches Pha-

40

45

50

55

5

6

senrauschen auf. Insbesondere OFDM-Signale sind sehr anfällig gegenüber den Frequenzschwankungen und dem Phasenrauschen, welche insbesondere von preisgünstigen LO-Oszillatoren erzeugt werden, da dadurch die Orthogonalität zwischen den im Fre-

10

quenzbereich benachbart angeordneten Subträgern verloren geht. Das Phasenrauschen eines lokalen Oszillators verursacht Störungen im demodulierten Basisbandsignal wobei insbesondere sogenannte "Common Phase Error" - auch als CPE-Störungen bezeichnet - und "Inter Carrier Interference" - auch als ICI-Störungen bezeichnet" im Basisbandsignal erzeugt werden.

20

Durch CPE-Störungen werden alle Subträger eines OFDM-Empfangssignals um eine konstante Phasendifferenz gedreht, wobei die Phasendifferenz mit minimalen Aufwand abschätzbar ist und das OFDM-Empfangssignal entsprechend korrigierbar ist. Dagegen werden durch ICI-Störungen gegenseitige Störungen zwischen den im Frequenzbereich benachbart angeordneten Subträgern verursacht, wobei der jeweilige Umfang dieser Störungen von der Art der übermittelten Informationen abhängig ist.

25

ICI-Störungen entstehen bei der Faltung der einzelnen Subträger mit dem ein Phasenrauschen aufweisenden Trägersignal des lokalen Oszillators. Werden über jeden Subträger die gleichen Informationen übermittelt, wird jeder Subträger mit der selben ICI-Störung additiv überlagert. Im normalen Betrieb weist jeder Subträger unterschiedliche Amplitudenschwankungen auf, durch welche abhängig vom eingesetzten Modulationsverfahren und der übermittelten Daten unterschiedliche ICI-Störungen in den einzelnen Subträgern erzeugt werden. Das empfangene OFDM-Signal ist eine komplizierte additive Überlagerung sehr vieler Teilsignale wodurch eine direkte Bestimmung der ICI-Störung nur mit erhöhtem Aufwand möglich ist.

30

35

40

45

50

Es sind Oszillatoren mit geringem Phasenrauschen - auch als phasenreine Oszillatoren bezeichnet - erhältlich, welche entweder sehr teuer sind oder einen minimalen Ziehbereich aufweisen, und für welche somit aufwendige Zusatzschaltungen im Basisband erforderlich sind.

55

5

7

Der Erfindung liegt die Aufgabe zugrunde, die Übermittlung von Informationen mit Hilfe eines Multiträgerverfahrens kostengünstig auszustalten und insbesondere eine effektive Ausnutzung der zur Verfügung stehenden Übertragungsressourcen des Übertragungsmediums zu erreichen. Die Aufgabe wird ausgehend von einem Verfahren und einer Empfangsanordnung gemäß den Merkmalen der Oberbegriffe der Patentansprüche 1 und 15 durch deren kennzeichnende Merkmale gelöst.

10

Beim erfindungsgemäßen Verfahren zum Empfang eines mehrere frequenzdiskrete Subträger aufweisenden Multiträgersignals sind die zu übermittelnden Informationen mit Hilfe eines Multiträgerverfahrens in frequenzdiskrete Modulationssymbole umgewandelt und in das Multiträgersignal eingefügt. Die einzelnen frequenzdiskreten Subträger des über ein Übertragungsmedium übermittelten Multiträgersignals weisen jeweils durch im Frequenzbereich benachbart angeordnete Subträger verursachte subträgerspezifische Störungen auf. Der wesentliche Aspekt des erfindungsgemäßen Verfahrens besteht darin, daß die Subträger des empfangenen Multiträgersignals zusätzlich gezielt gestört werden und daß aus den zusätzlich gezielt gestörten Subträgern eine die subträgerspezifischen Störungen repräsentierende Korrekturinformation abgeleitet wird. Anschließend werden die empfangenen, frequenzdiskreten Subträger entsprechend der ermittelten Korrekturinformation korrigiert.

15

20

25

30

35

40

45

50

Der wesentliche Vorteil des erfindungsgemäßen Verfahrens besteht darin, daß durch die erfindungsgemäße Kompensation der im empfangenen Multiträgersignal enthaltenen subträgerspezifischen Störungen bzw. ICI-Störungen insbesondere kostengünstige, lokale Oszillatoren in den jeweiligen Sende- und Empfangseinrichtungen einsetzbar sind. Derartige Oszillatoren können beispielsweise auf GaAs-Basis aufgebaut sein und sind mit geringstem wirtschaftlichen und technischen Aufwand in einem MMIC realisierbar. Des Weiteren ist zur Realisierung des erfindungsgemäßen Verfahrens kein zusätzliches Einfügen von Redundanz-Informationen auf der Sendeseite für die Schät-

5

8

zung der ICI-Störungen bzw. zur Bestimmung der Korrekturinformationen erforderlich so daß eine effektive Ausnutzung der zur Verfügung stehenden Übertragungsressourcen des Übertragungsmediums erreicht wird.

10

5

Vorteilhaft werden aus dem empfangenen Multiträgersignal die frequenzdiskreten Subträger repräsentierenden Empfangssymbole abgeleitet. Bei dieser vorteilhaften Ausgestaltung sind k unterschiedlich definierte Referenz-Störinformationen vorgesehen, wobei jeweils für jede Referenz-Störinformation zuerst die Empfangssymbole der um jeweils zumindest einen Teil der Subträger im Frequenzbereich benachbart angeordneten Subträger jeweils mit der jeweiligen Referenz-Störinformation gestört werden und anschließend die gestörten Empfangssymbole der benachbarten Subträger als gezielte Teststörungen dem Empfangssymbol des zusätzlich gestörten Subträgers additiv überlagert werden (a). Die zusätzlich gezielt gestörten Empfangssymbole werden jeweils mit dem nächstliegenden modulationspezifischen Modulationssymbol verglichen und in Abhängigkeit von den Vergleichsergebnissen subträgerspezifische Fehlerinformationen gebildet (b) und aus den subträgerspezifischen Fehlerinformationen eine störinformationsspezifische Summen-Fehlerinformation gebildet (c). Anschließend werden aus dem k-Referenz-Störinformationen und den k-Summen-Fehlerinformationen die Korrekturinformation abgeleitet (d) - Anspruch 3. Durch diese vorteilhafte Ausgestaltung kann die Korrekturinformation zur Schätzung der ICI-Störungen sehr genau bestimmt werden, da die Korrekturinformation durch eine Mittelung über alle Subträger des empfangenen Multiträgersignals abgeleitet wird.

25

30

35

40

50

Gemäß einer vorteilhaften Ausgestaltung des erfindungsgemäßen Verfahrens wird die Korrekturinformation ( $ici_{opt}$ ) im Rahmen einer iterativen Suche ermittelt wird, wobei die k Referenz-Störinformationen ( $ici1..4$ ) im Rahmen der iterativen Suche bestimmt werden und die Schritte (a) bis (c) wiederholt werden, bis ein minimaler Wert der störinformationsspezifischen Sum-

55

5

9

men-Fehlerinformationen ( $\epsilon_{min}$ ) ermittelt und daraus die Korrekturinformation ( $i_{ci_{opt}}$ ) abgeleitet wird - Anspruch 7. Das Ermitteln der Korrekturinformation ( $i_{ci_{opt}}$ ) im mit Hilfe der iterativen Suche stellt ein sehr stabiles Verfahren dar.

10

5

Gemäß einer weiteren vorteilhaften Ausgestaltung des erfindungsgemäßen Verfahrens werden die zusätzlich gezielt gestörten Empfangssymbole vor dem Vergleich mit dem jeweils nächstliegenden modulationsspezifischen Modulationssymbol jeweils in Abhängigkeit von frequenzselektiven Übertragungseigenschaften des Übertragungsmediums entzerrt - Anspruch 8. Durch die Entzerrung des empfangenen Multiträgersignals von den frequenzselektiven Übertragungseigenschaften des Übertragungsmediums werden eventuell auftretende Fehler beim Vergleich der gezielt gestörten Empfangssymbole mit dem jeweils nächstliegenden modulationsspezifischen Modulationssymbolen minimiert und somit die Qualität der ermittelten Korrekturinformationen verbessert.

15

20

25

30

35

40

45

Vorteilhaft werden nach der Durchführung der Schritte (a) bis (d) jeweils für jede Referenz-Störinformation die Empfangssymbole der um jeweils zumindest einen Teil der Subträger im Frequenzbereich entfernt angeordneten Subträger jeweils mit der jeweiligen Referenz-Störinformation gestört und anschließend die gestörten Empfangssymbole als gezielte Teststörungen dem Empfangssymbol des zusätzlich gestörten Subträgers additiv überlagert (a'). Anschließend werden die Schritte (b) bis (d) durchgeführt - Anspruch 9. Durch die zusätzliche Berücksichtigung derjenigen subträgerspezifischen Störungen, welche jeweils durch im Frequenzbereich weiter entfernt benachbarte Subträger verursacht werden, wird die Qualität der ermittelten Korrekturinformationen weiter verbessert.

50

Um eine weitere Verbesserung der Bestimmung der Korrekturinformation zu erreichen, wird gemäß einer weiteren vorteilhaften Ausgestaltung des erfindungsgemäßen Verfahrens die mit den Korrekturinformationen korrigierten Empfangssymbole demo-

5

10

duliert. Mit Hilfe von in die übermittelten Informationen eingefügten Fehlererkennungs-Informationen werden in den demoduierten Empfangssymbolen Fehler erkannt und erkannte, fehlerhafte Empfangssymbole korrigiert. Bei erkannten Fehlern werden die Schritte (b) bis (d) erneut durchgeführt, wobei für die Ermittlung der Korrekturinformationen die fehlerkorrigierten Empfangssymbole verwendet werden - Anspruch 10.

15

Weitere vorteilhafte Ausgestaltungen des erfindungsgemäßen Verfahrens sowie eine Verwendung des erfindungsgemäßen Verfahrens und eine Empfangsanordnung zum Empfangen eines mehrere frequenzdiskrete Subträger aufweisenden Multiträgersignals sind den weiteren Ansprüchen zu entnehmen.

25

15 Im folgenden wird das erfindungsgemäße Verfahren anhand von vier Zeichnungen näher erläutert. Dabei zeigen:

FIG 1 ein dem erfindungsgemäßen Verfahren zugrundeliegendes Störmodell, durch welches die gegenseitigen subträgerspezifischen Störungen zwischen im Frequenzbereich benachbart angeordneten Subträgern eines Multiträgersignals verdeutlicht werden,

FIG 2 eine das erfindungsgemäße Verfahren realisierende Schaltungsanordnung,

FIG 3 eine vorteilhafte Ausgestaltung einer Schaltungsanordnung zur additiven Überlagerung von Referenz-Störinformationen bzw. von daraus abgeleiteten Teststörungen zu den jeweiligen Subträgern eines empfangenen Multiträgersignals,

FIG 4 eine grafische Darstellung einer Fehlerkurve bzw. Korrekturfunktion, aus welcher die Korrekturinformationen zur Minimierung der subträgerspezifischen Störungen eines empfangenen Multiträgersignals abgeleitet werden.

35

50

In FIG 1 ist ein im Frequenzbereich angeordnetes Störmodell zur Verdeutlichung des dem erfindungsgemäßen Verfahren zu-

55

5

11

10

grundeliegenden Problems dargestellt. Das Störmodell zeigt ausschnittsweise mehrere Subträger  $st_{i-1}$ ,  $st_i$ ,  $st_{i+1}$  eines insgesamt  $n$  Subträger  $st_{1..n}$  aufweisenden, im Rahmen eines Multiträgerverfahrens gebildeten Multiträgersignals  $ms$ . Im folgenden sei angenommen, daß das Multiträgersignal durch ein OFDM-Übertragungsverfahren erzeugt ist. Ausgehend von jedem Subträger  $st_i$  werden subträgerspezifische Störungen  $icix$  bei den im Frequenzbereich benachbart angeordneten Subträgern  $st_{i-1}$  und  $st_{i+1}$  verursacht, welche im Störmodell durch kleine Pfeile verdeutlicht sind. Umgekehrt wird der zentral angeordnete  $i$ -te Subträger  $st_i$  von den durch die beiden benachbarten Subträger  $st_{i-1}$  und  $st_{i+1}$  verursachten subträgerspezifischen Störungen - in FIG 1 durch  $icix_{-1}$  und  $icix_{+1}$  gekennzeichnet - beeinflußt, wobei jeweils eine additive Überlagerung des jeweiligen  $i$ -ten Subträgers  $st_i$  mit den erzeugten subträgerspezifischen Störungen  $icix_{-1}$ ,  $icix_{+1}$  erfolgt. Gemäß FIG 1 stellt das empfangene Multiträgersignal  $ms$  eine komplizierte Überlagerung sehr vieler Teilsignale dar, so daß eine direkte Bestimmung der von den einzelnen Subträgern  $st_{1..n}$  ausgehenden, subträgerspezifischen Störungen  $icix$  nicht mehr möglich ist.

15

20

25

30

35

40

45

50

FIG 2 zeigt in einem Blockschaltbild eine in einer Empfangseinheit  $E$  angeordnete Schaltungsanordnung, durch welche die im empfangenen OFDM-Signal  $ms$  enthaltenen subträgerspezifischen Störungen  $icix$  - im folgenden auch als ICI-Störungen bezeichnet - geschätzt und anschließend das empfangene OFDM-Signal  $ms$  in Abhängigkeit von dem Schätzungsergebnis entzerrt wird. Das Blockschaltbild zeigt eine Empfangsanlage  $A$  aufweisende Empfangseinheit  $E$ , welche beispielsweise modulativer Bestandteil von Empfangsanlagen in drahtlose Kommunikationsnetze realisierenden Basisstationen oder Netzabschlußeinheiten sein kann. An der außen an der Empfangseinheit  $E$  angebrachten Empfangsantenne  $A$  ist über einen Eingang  $EH$  eine Hochfrequenz-Umsetzereinheit  $HFU$  angeschlossen. In der Hochfrequenz-Umsetzereinheit  $HFU$  ist ein lokaler Oszillator  $LO$  angeordnet, welcher ein oszillatorspezifisches Phasenrauschen  $\varphi_{LO}$  aufweist. Über einen Ausgang  $AH$  ist die Hochfrequenz-Um-

5

12

setzereinheit HFU mit einem Eingang EW einer Wandlereinheit WAS verbunden. In der Wandlereinheit WAS sind Mittel zur Analog-/Digital-Wandlung und zur anschließenden Seriell-/Parallel-Wandlung (A/D, S/P) eines eingehenden Empfangssignals ms' angeordnet. Die Wandlereinheit WAS weist n-Ausgänge AW1...n auf, welche mit entsprechenden Eingängen EF1...n einer Transformationseinheit FFT zur Realisierung einer diskreten "Fast-Fourier-Transformation" verbunden sind. Die Transformationseinheit FFT ist über n-Ausgänge AF1...n mit entsprechenden Eingängen EP1...n eines Parallel-/Seriell-Wandlers PSW verbunden.

20

Über einen Ausgang AP ist der Parallel-/Seriell-Wandler PSW jeweils über einen Eingang ER mit vier parallel angeordneten Referenzmodulen RM1...4 verbunden, durch welche vier definierte Störsignale bzw. diese repräsentierende Referenz-Störinformationen ic1...4 dem empfangenen OFDM-Signal ms hinzugefügt werden. Dazu weist jede der vier Referenzmodule RM1...4 eine Störeinheit STE auf, welcher jeweils eine der Referenz-Störinformationen ic1...4 zugeordnet ist, und durch welche den einzelnen Subträgern st1...n des empfangenen OFDM-Signals ms die jeweils zugeordnete Referenz-Störinformationen ic1...4 additiv überlagert wird. In jedem Referenzmodul RM1...4 ist weiterhin eine Entzerrereinheit EZ zur linearen Entzerrung des empfangenen OFDM-Signals von den Funkkanaleigenschaften H(f) sowie eine Fehler-Detektoreinheit FE zur Bestimmung von störinformationsspezifischen Summen-Fehlerinformationen se1...4 angeordnet. Jede Fehler-Detektoreinheit FE ist über einen Ausgang AF an einen Ausgang AR des jeweiligen Referenzmoduls RM1...4 angeschlossene. Jedes der vier Referenzmodule RM1...4 ist über den Ausgang AR mit einem Eingang EA1...4 einer Auswerteinheit ASW verbunden.

45

Der Ausgang AP des Parallel-/Seriell-Wandlers PSW ist zusätzlich an einen Eingang EV einer Verzögerungseinheit VE geschaltet, durch welche das empfangene OFDM-Signal ms um eine vorgegebene Zeitkonstante  $\Delta t$  verzögert wird. Über einen Aus-

55

5

13

gang AV ist die Verzögerungseinheit VE mit dem Eingang EK einer Korrekturereinheit KE verbunden. Die Korrekturereinheit KE weist einen Steuereingang SE auf, welcher mit einem Steuer-  
ausgang SA der Auswerteeinheit ASW verbunden ist. Über einen  
Ausgang AK ist die Korrekturereinheit KE mit einem Eingang EE einer weiteren Entzerrereinheit EZ verbunden, welche über einen Ausgang AE an einen Eingang AD eines Demodulators DMOD angeschlossen ist. Der Demodulator DMOD weist einen Ausgang AD auf, an welchen das demodulierte Empfangssignal als digitales Datensignal di weitergeleitet ist.

10

15

20

Im folgenden wird das erfindungsgemäße Verfahren anhand der in FIG 2 dargestellten Schaltungsanordnung näher erläutert.

25

30

35

40

45

50

15 In einem nicht dargestellten Sender werden mit Hilfe eines Multiträgerverfahrens, beispielsweise einem OFDM-Übertragungsverfahren die zu übermittelnde Informationen mit Hilfe eines phasenmodulierenden Modulationsverfahrens - z.B. 4QAM oder 16QAM - in entsprechende Modulationssymbole und diese anschließend in ein mehrere frequenzdiskrete Subträger st1...n aufweisendes OFDM-Signal ms umgewandelt und über das Übertragungsmedium "Funkkanal" FK an die Empfangseinheit E übermittelt. Der Funkkanal FK weist frequenzselektive Übertragungseigenschaften H(f) auf, durch welche die Amplitude und die Phase des OFDM-Signals ms verzerrt werden. Das ausgesendete OFDM-Signal ms wird über die außen an der Empfangseinheit E angeordnete Empfangsanenne A empfangen und der Hochfrequenz-Umsetzereinheit HFU zugeführt. Das empfangene OFDM-Signal ms wird durch den in der Hochfrequenz-Umsetzereinheit HFU angeordneten lokalen Oszillatoren LO in das Zwischenfrequenzband heruntergemischt, wobei durch das Phasenrauschen  $\phi_{lo}$  des lokalen Oszillators LO die subträgerspezifischen Störungen icix in den einzelnen Subträgern st1...n des empfangenen OFDM-Signals ms erzeugt werden. Das in das Zwischenfrequenzband heruntergemischte OFDM-Signal ms' wird durch die Wandlereinheit WAS analog-/digital-gewandelt und anschließend durch Seriell-/Parallel-Wandlung in entsprechende, das digitale OFDM-Signal

5

14

10

repräsentierende, n-zeitdiskrete Abtastwerte  $z_{1..n}$  parallelisiert. Mit Hilfe der in der Transformationseinheit FFT realisierten diskreten "Fast-Fourier-Transformation" werden aus den n-zeitdiskreten Abtastwerten  $z_{1..n}$  die entsprechenden n-Empfangssymbole  $e_{1..n}$  berechnet, welche anschließend durch den Parallel-/Seriell-Wandler PSW in einen seriellen Datenstrom  $e_{1..n}$  umgewandelt werden. Es sei angemerkt, daß die in FIG 2 dargestellten Seriell-/Parallel- bzw. Parallel-/Seriell-Wandler nicht unbedingt erforderlich sind, da viele aktuelle Mikroprozessoren zur Realisierung der „Fast-Fourier-Transformation“ die ein- und ausgehenden Informationen bereits seriell verarbeiten. Die jeweils an den Ausgang AW des Parallel-/Seriell-Wandlers PSW geführten Empfangssymbole  $e_{1..n}$ , welche die aktuell empfangenen Subträger  $s_{1..n}$  des empfangenen OFDM-Signals  $m_s$  repräsentieren, werden jeweils den vier Referenzmodulen RM1..4 zugeführt.

15

20

25

Im folgenden wird die Funktion der Referenzmodule RM1..4 näher erläutert.

30

20

35

Durch die in den Referenzmodulen RM1..4 angeordneten Störeinheiten STE werden die übermittelten Empfangssymbole  $e_{1..n}$  jeweils mit subträgerspezifische Störungen  $i_{cix}$  repräsentierenden Referenz-Störinformationen  $i_{cil..4}$  überlagert. Dazu werden mit Hilfe der Referenz Störinformationen  $i_{cil..4}$  aus den jeweils um einen i-ten Subträger  $s_i$  benachbart angeordneten Subträgern  $s_{i-1}, s_{i+1}$  subträgerspezifische Störungen  $i_{cix..i}, i_{cix..i-1} -$  auch als definierte Teststörungen bezeichnet - abgeleitet - beispielsweise durch Multiplikation mit der Referenz-Störinformation  $i_{cil..4}$  - und anschließend die beiden abgeleiteten Teststörungen  $i_{cix..i-1}, i_{cix..i}$  dem zentral angeordneten i-ten Subträger  $s_i$  additiv überlagert.

40

45

In FIG 3 ist beispielhaft eine schaltungstechnische Ausgestaltung der Störeinheit STE zur Bildung der Teststörungen  $i_{cix}$  und zur additiven Überlagerung der Subträger  $s_{1..n}$  mit den gebildeten Teststörungen  $i_{cix}$  dargestellt. Die Störein-

55

5

15

heit STE weist drei Zeitglieder T1...3 auf, durch welche die seriell eingehenden, die einzelnen Subträger st1...n repräsentierenden Empfangssymbole esl...n verzögert werden. Durch die Hintereinanderschaltung der drei Zeitglieder T1...3 stehen jeweils drei im Frequenzbereich benachbart angeordnete und durch die Empfangssymbole esl...n repräsentierte Subträger st<sub>1</sub>, st<sub>2</sub> und st<sub>3</sub>: zeitgleich zur Verfügung. Das erste und das dritte Zeitglied T1, T3 ist jeweils über einen Ausgang AT mit einem Eingang EM eines Multiplikators M verbunden, durch welchen das jeweils aktuell im entsprechenden Zeitglied T1, T3 gespeicherte Empfangssymbol esl...n mit der dem jeweiligen Referenzmodul RM1...4 zugeordneten Referenz-Störinformation icil...4 multipliziert wird. Über jeweils einem Ausgang AM sind die beiden Multiplikatoren M an Eingänge EA eines Addierers ADD angeschlossen, an welchen auch ein Ausgang AT des zweiten Zeitgliedes T2 geschaltet ist. Durch die in FIG 3 dargestellte Schaltungsanordnung werden die jeweils um einen i-ten Subträger st<sub>i</sub> benachbart angeordneten Subträgern st<sub>i-1</sub>, st<sub>i+1</sub> bzw. die diese repräsentierenden Empfangssymbole esl...n mit der jeweils zugeordneten Referenz-Störinformation icil...4 multipliziert und anschließend die beiden jeweils Teststörungen icix<sub>-i</sub>, icix<sub>+i</sub>, repräsentierenden Multiplikationsprodukte zum i-ten Subträger st<sub>i</sub> bzw. zu dem diesen repräsentierenden Empfangssymbol esl...n addiert. In Abhängigkeit vom jeweiligen Vorzeichen der einzelnen Referenz-Störinformationen icil...4 werden die gebildeten Teststörungen icix<sub>-i</sub>, icix<sub>+i</sub> zu dem jeweiligen i-ten Subträger st<sub>i</sub> addiert oder subtrahiert, wobei durch die Subtraktion einer Teststörung icix der in FIG 1 dargestellte Störprozeß, basierend auf dem Phasenrauschen  $\phi_{LO}$  des in der Hochfrequenz-Umsetzereinheit HFU angeordneten, lokalen Oszillators LO, umgekehrt wird.

Um eine genaue Bestimmung bzw. Schätzung der durch das Phasenrauschen des Oszillators LO verursachten ICI-Störungen ici0 zu erreichen, werden die mit den unterschiedlichen Referenz-Störinformationen icil...4 beaufschlagten Empfangssymbole esl...n zusätzlich durch die Entzerrereinheit EZ linear ent-

5

16

zerrt. Um eine lineare Entzerrung der Übertragungseigenschaften des Übertragungsmediums zu ermöglichen, wird die Übertragungsfunktion  $H(f)$  des Funkkanals FK beispielsweise mit Hilfe von Pilotsymbolen bestimmt. Anschließend werden die Empfangssymbole  $es'1...n$  mit der inversen Übertragungsfunktion  $1/H(f)$  multipliziert. Die entzerrten Empfangssymbole  $es''1...n$  werden anschließend der Fehler-Detektoreinheit FE zugeführt.

15

In der Fehler-Detektionseinheit FE werden die zugeführten Empfangssymbole  $es''1...n$  jeweils mit dem nächstbesten oder wahrscheinlichsten Modulationssymbol - die Menge der Modulationssymbole ist jeweils abhängig vom verwendeten Modulationsverfahren - verglichen und für jedes Empfangssymbol  $es''1...n$  eine die Differenz bzw. den Abstand des Empfangssymbols  $es''1...n$  zum nächstbesten Modulationssymbol repräsentierende subträgerspezifische Fehlerinformation  $\Delta\epsilon1...n$  gebildet. Anschließend werden die für jede Referenz-Störinformation  $icil...4$  über alle Subträger  $st1...n$  ermittelten, subträgerspezifischen Fehlerinformationen  $\Delta\epsilon1...n$  zu einer störinformationspezifischen Summen-Fehlerinformation  $sel...4$  aufaddiert, wobei  $sel...4 = \sum |\Delta\epsilon1...n|$ . Die vier in den vier Referenzmodulen  $RM1...4$  bestimmten störinformationspezifische Summen-Fehlerinformationen  $sel...4$  werden jeweils an die Auswerteeinheit ASW weitergeleitet.

35

25 In der Auswerteeinheit ASW wird aus den vier vorgegebenen Referenz-Störinformationen  $icil...4$  und aus den vier in den vier Referenz-Modulen  $RM1...4$  bestimmten störinformationspezifischen Summen-Fehlerinformationen  $sel...4$  eine Korrekturinformation  $ici_{opt}$  gemäß der in FIG 4 dargestellten Fehlerkurve abgeleitet. Die Fehlerkurve stellt gleichzeitig eine Korrekturfunktion dar und ist in einem zweidimensionalen Koordinatensystem dargestellt, wobei auf der Abszisse die Referenz-Störungen  $icil...4$  bzw. die aus diesen abgeleiteten Teststörungen  $icix$  und auf der Ordinate die jeweils bestimmten, störinformationspezifischen Summen-Fehlerinformationen  $sel...4$  abgebildet sind - wobei  $sel...4 = \sum |\Delta\epsilon1...n(icil...4)|$ . Für das Ausführungss-

55

5

17

beispiel sei angenommen, daß die Summen der jeweiligen subträgerspezifischen Fehlerinformationen  $\Delta\epsilon_{1..n}$ , d.h. die störinformationspezifischen Summen-Fehlerinformationen  $s\epsilon_{1..4} = \sum|\Delta\epsilon_{1..n}|$  mit zunehmender ICI-Störung, also mit steigenden Beiträgen der Referenz-Störinformationen  $i\epsilon_{1..4}$  linear ansteigen, da das in FIG 1 dargestellte Störmodell auf additiven Störtermen beruht. Idealerweise weist bei einem Empfang eines Multiträgersignals  $m_s$  ohne ICI-Störungen die Summe der subträgerspezifischen Fehlerinformationen  $\Delta\epsilon_{1..n}$  einen minimaler Wert  $s\epsilon_{min}$  auf, wobei in einem idealen Kommunikationssystem ohne additiv überlagertes Gaußsches Rauschen - AWGN - und ohne Schätzfehler  $\Delta H(f)$  für den Funkkanal FK der minimale Wert  $s\epsilon_{min}$  gegen Null geht. In realen Systemen weist der minimale Wert  $\epsilon_{min}$  einen Wert ungleich Null auf. Bedingt durch das Phasenrauschen des in der Hochfrequenz-Umsetzereinheit HFU angeordneten, lokalen Oszillators LO weisen die am Ausgang des Parallel-/Seriell-Wandlers PSW anliegenden Empfangssymbole  $e_{1..n}$  bestimmte, nicht genau erfassbare ICI-Störungen auf, welche in FIG 4 durch den Wert  $i\epsilon_{1..4}$  dargestellt sind.

Ausgehend von diesen nicht messbaren ICI-Störungen  $i\epsilon_{1..4}$  ergeben sich subträgerspezifische Fehlerinformationen  $\Delta\epsilon_{1..n}$ , deren Summe  $\sum|\Delta\epsilon_{1..n}|$  den Wert  $s\epsilon_0$  ergeben, welcher ebenfalls in FIG 4 dargestellt ist, wobei  $s\epsilon_0 \geq s\epsilon_{min}$ .

35

In FIG 4 ist der Schnittpunkt der in den empfangenen Empfangssymbolen  $e_{1..n}$  enthaltenen und nicht näher bestimmbarer ICI-Störung  $i\epsilon_{1..4}$  und die sich daraus ergebende Summe der subträgerspezifische Fehlerinformationen  $s\epsilon_0 = \sum|\Delta\epsilon_{1..n}(i\epsilon_{1..4})|$  durch einen Punkt AP verdeutlicht. Ausgehend von diesem Punkt bzw. Ausgangspunkt AP werden erfindungsgemäß in beschriebener Art und Weise - in den jeweiligen Referenz-Modulen RM1..4 - die empfangenen Empfangssymbole  $e_{1..n}$  jeweils mit den vier unterschiedlichen Referenz-Störinformationen  $i\epsilon_{1..4}$  bzw. Teststörungen  $i\epsilon_{1..4}$  beaufschlagt und anschließend die störinformationspezifischen Summen-Fehlerinformationen  $s\epsilon_{1..4}$  ermittelt. Gemäß FIG 4 stellen die erste und die dritte Referenz-Störinformation  $i\epsilon_{1..3}$  jeweils eine sehr kleine ICI-Störung

55

5

18

10

mit jeweils umgekehrten Vorzeichen dar, während die zweite und die vierte Referenz-Störinformation  $ici2,4$  jeweils eine relativ große ICI-Störung repräsentieren. Es sei ein linearer Zusammenhang zwischen den Referenz-Störinformationen  $ici1...4$  bzw. den daraus abgeleiteten Störsignalen  $icix$  und den daraus resultierenden störinformationspezifischen Summen-Fehlerinformationen  $s\epsilon1...4$  angenommen. Der lineare Zusammenhang ist in der in FIG 4 dargestellten Fehlerkurve bzw. Korrekturfunktion durch eine eine Steigung  $S$  aufweisende lineare Kennlinie  $\sum |\Delta\epsilon1...n|$  verdeutlicht. Durch Berechnung der Steigung  $S$  der Korrekturfunktion kann aus den bekannten Ausgangsgrößen - hier aus den Referenz-Störinformationen  $ici1...4$  - und den mit Hilfe der Referenz-Module RML...4 bestimmten störinformationspezifischen Summen-Fehlerinformationen  $s\epsilon1...4$  diejenige Korrekturinformation  $ici_{opt}$  bestimmt werden, durch welche die Summe der subträgerspezifische Fehlerinformationen  $\sum |\Delta\epsilon1...n(ici_{opt})|$  den minimalen Wert  $s\epsilon_{min}$  aufweist; d.h. mit Hilfe der bestimmten Korrekturinformation  $ici_{opt}$  kann diejenige Störung  $icix$  erzeugt werden, durch welche die im empfangenen OFDM-Signal vorhanden ICI-Störungen minimiert werden.

20

25

30

Die Korrekturinformation kann gemäß nachfolgender Berechnungsvorschrift aus den bekannten Größen abgeleitet werden:

35

$$s\epsilon_0 = \frac{(s\epsilon1 + s\epsilon3)}{2} \quad (1)$$

40

$$\Delta s\epsilon = \frac{(s\epsilon1 - s\epsilon3)}{2} \quad (2)$$

$$S = \frac{\Delta s\epsilon}{ici3} = \frac{s\epsilon1 - s\epsilon3}{ici1 - ici3} \quad (3)$$

45

$$s\epsilon_{min} = s\epsilon_0 + S \cdot ici_{opt} \quad (4)$$

$$s\epsilon4 = \epsilon_{min} - S \cdot (ici4 - ici_{opt}) \quad (5)$$

50

Aus den Gleichungen (1) bis (5) folgt

$$ici_{opt} = \left( \frac{s\epsilon4 - s\epsilon0}{2(s\epsilon1 - s\epsilon3)} \right) \cdot (ici1 - ici3) + \frac{ici4}{2} \quad (6)$$

55

5

19

$$ici_{opt} = \left( \frac{s\epsilon 4 - \frac{(s\epsilon 1 + s\epsilon 3)}{2}}{2(s\epsilon 1 - s\epsilon 3)} \right) \cdot (ici1 - ici3) + \frac{ici4}{2} \quad (7)$$

10

wobei  $ici1, ici2 \geq 0$  $ici3, ici4 \leq 0$ 

15

Befindet sich der Ausgangspunkt AP ( $ici0, s\epsilon 0$ ) im linken Ab-5 schnitt der Fehlerkurve bzw. Korrekturfunktion  $\Sigma |\Delta\epsilon_1...n|$  bzw.  
im zweiten Quadranten des Koordinatensystems muß die oben  
aufgeführte Berechnungsvorschrift entsprechend angepaßt

20

werden. Der Aufwand für die Berechnung der Korrekturinforma-  
tion  $ici_{opt}$  ist vernachlässigbar, da diese nur einmal nach  
10 Empfang eines OFDM-Signals – nach Bestimmung der Empfangssym-  
bole  $es1...n$  – berechnet wird.

25

Die berechnete Korrekturinformation  $ici_{opt}$  wird an die Korrek-  
tureinheit KE weitergeleitet. Das empfangene OFDM-Signal  $ms$   
bzw. die am Ausgang des Parallel-/Seriell-Wandlers PSW anlie-

30

15 genden Empfangssymbole  $es1...n$  werden in der Verzögerungsein-  
heit VE um die Zeitkonstante  $\Delta t$  verzögert, wobei die Zeikon-  
stante  $\Delta t_{so}$  dimensioniert ist, daß die Empfangssymbole  $es1...n$   
erst nach der Berechnung der Korrekturinformation  $ici_{opt}$  und

35

deren Weiterleitung an die Korrekturteilung KE an diese über-  
mittelt werden. In der Korrekturteilung KE werden die verzö-  
gerten Empfangssymbole  $ves1...n$  in bereits beschriebener Art  
und Weise mit der optimierten Störung  $icix$ , additiv überla-  
gert bzw. korrigiert. Die korrigierten Empfangssymbole

40

20  $ves'1...n$  werden anschließend in der Entzerrereinheit EZ mit  
25 der inversen der Übertragungsfunktion  $1/H(f)$  des Funkkanals  
FK multipliziert und an den Demodulator DMOD weitergeleitet.  
Im Demodulator DMOD werden die entzerrten Empfangssymbole  
45  $ves''1...n$  demoduliert und in einen digitalen Datenstrom di um-  
gewandelt.

50

55

Bei sehr großen ICI-Störungen im empfangenen OFDM-Signal können gemäß einer vorteilhaften Weiterbildung des erfindungsgemäßen Verfahrens auch die zwischen weiter entfernten Subträgern - z.B. zwischen den Subträgern  $st_{i-2}$ ,  $st_i$  und  $st_{i+2}$  - verursachten ICI-Störungen entzerrt werden. Zu diesem Zweck könnte ein interaktives Verfahren realisiert werden, bei dem in einem ersten Schritt die im Frequenzbereich unmittelbar benachbart angeordneten Subträger - hier die Subträger  $st_{i-1}$ ,  $st_i$  und  $st_{i+1}$  - in beschriebener Art und Weise entzerrt werden. In einem zweiten Schritt werden nach dem gleichen Verfahren die durch die im Frequenzbereich weiter entfernt angeordneten Subträger - hier die Subträger  $st_{i-2}$ ,  $st_i$  und  $st_{i+2}$  - verursachten ICI-Störungen entzerrt. Je nach Notwendigkeit kann das Iteration Verfahren auch auf im Frequenzbereich weiter entfernt angeordnete Subträger  $st_{i-b}$ ,  $st_i$ ,  $st_{i+b}$ , wobei  $b > 1$ , ausgedehnt werden.

Weiterhin können bei sehr großen ICI-Störung die empfangenen Empfangssymbole  $esl...n$  sehr große Symbolfehler aufweisen. Beim Vergleich dieser fehlerhaften Empfangssymbole  $esl...n$  mit dem jeweils nächstbesten, den Sollwert repräsentierenden Modulationssymbol - auch als Schätzwert bezeichnet - können die Empfangssymbole  $esl...n$  mit den falschen Modulationssymbol verglichen werden, was zu erheblichen Fehlern bei der Berechnung der Summe der subträgerspezifische Fehlerinformationen  $\sum |\Delta e|...n|$  führt. Aus den fehlerhaft ermittelten störinformati onspezifischen Summen-Fehlerinformationen  $s\delta l...4 = \sum |\Delta e|...n|$  würde eine falsche Korrekturinformation  $ici_{opt}$  abgeleitet werden, durch welche im schlimmsten Fall eine Erhöhung der Bitfehler im demodulierten Datenstrom di verursacht wird.

Gemäß einer weiteren vorteilhaften Ausgestaltung der erfindungsgemäßen Verfahrens - nicht dargestellt - ist eine Fehlerbehandlungsroutine - auch als Forward Error Correction, FEC bezeichnet - vorgesehen, durch welche der demodulierte Datenstrom di auf eventuell auftretende Bitfehler untersucht

5

21

wird. Gemäß dieser vorteilhaften Ausgestaltung des erfindungsgemäßen Verfahrens wird bei erkannten Bitfehlern ein zusätzlicher interaktiver Verfahrensschritt durchgeführt, in welchem die fehlerhaft erkannten Empfangssymbole korrigiert und mit Hilfe der korrigierten Empfangssymbole die Summe der subträgerspezifische Fehlerinformationen  $\sum |\Delta e_{1..n}|$  erneut gebildet wird. Diese Ausgestaltungsvariante ist insbesondere für höherstufige Modulationsverfahren einsetzbar.

10

10 Gemäß einer weiteren Ausgestaltungsvariante des erfindungsgemäßen Verfahrens wird nur ein Teil der aus dem empfangenen Multiträgersignal  $m_s$  abgeleiteten Empfangssymbole  $e_{s1..n}$  für die Bestimmung der Korrekturinformation  $i_{ci_{opt}}$  verwendet, wodurch der Aufwand für die Berechnung der Korrekturinformation  $i_{ci_{opt}}$  und damit die Verzögerung des empfangenen Multiträgersignals  $m_s$ , d.h. die Verzögerungskonstante  $\Delta t$  minimiert wird.

15

20

25

30

35

40

45

50

Gemäß einer vorteilhaften Weiterbildung wird das erfindungsgemäße Verfahren zusammen mit einer Fehlerbehandlungsroutine eingesetzt. Dabei erfolgt zuerst keine Entzerrung der ICI-Störungen im empfangenen Multiträgersignal. In einem ersten Schritt wird zuerst eine Demodulierung des empfangenen Multiträgersignal durchgeführt und anschließend der demodulierte Datenstrom  $d_i$  mit Hilfe der Fehlerbehandlungsroutine auf Bitfehler untersucht. Erst wenn erkannte Bitfehler nicht mehr korrigierbar sind, wird das erfindungsgemäße Verfahren durchgeführt, wobei erkannte Bitfehler, d.h. fehlerhafte Empfangssymbole  $e_{s1..n}$  bei der Bildung der störinformationspezifischen Summen-Fehlerinformationen  $s_{el..4} = \sum |\Delta e_{1..n}|$  nicht berücksichtigt werden. Dies kann beispielsweise durch Ausblenden der fehlerhaften Subträger  $s_{1..n}$  bzw. Empfangssymbole  $e_{s1..n}$  oder durch entsprechende Korrektur der fehlerhaften Empfangssymbole  $e_{s1..n}$  realisiert werden. Diese vorteilhafte Weiterbildung kann solange iterativ wiederholt werden, bis alle ICI-Störungen entzerrt sind.

55

5

22

Gemäß einer alternativen Ausgestaltungsvariante des erfundungsgemäßen Verfahrens wird ausgehend von der in FIG 4 dargestellten Fehlerkurve die kleinste Summe  $\epsilon_{\min}$  der subträger-  
10 spezifische Fehlerinformationen  $\sum |\Delta \epsilon_{l...n}|$  durch eine iterative

5 Suche - mit definierter Schrittweite - mit Hilfe von zwei kleinen Referenz-Störinformationen  $i_{C1,3}$  bzw. Teststörungen ermittelt.

15

20

25

30

35

40

45

50

55

**Claims**

5

10

15

20

25

30

35

40

45

50

55

5

23

## Patentansprüche

1. Verfahren zum Empfang eines mehrere frequenzdiskrete Sub-  
träger ( $st1\dots n$ ) aufweisenden Multiträgersignals (ms), in

5 welches mit Hilfe eines Multiträgerverfahrens in frequenzdis-  
krete, modulationsspezifische Modulationssymbole umgewandelte  
Informationen eingefügt sind,

10 wobei die einzelnen frequenzdiskreten Subträger ( $st1\dots n$ ) des  
über ein Übertragungsmedium (FK) übermittelten Multiträger-

15 signals (ms) jeweils durch im Frequenzbereich benachbart an-  
geordnete Subträger ( $st1\dots n$ ) verursachte, subträgerspezifische  
Störungen ( $ici0$ ) aufweisen,

20 dadurch gekennzeichnet,

15 - daß die Subträger ( $st1\dots n$ ) des empfangenen Multiträgersig-  
nals (ms) zusätzlich gezielt gestört werden,

25 - daß aus den zusätzlich gezielt gestörten Subträgern ( $st1\dots n$ )  
eine die subträgerspezifischen Störungen ( $ici0$ ) repräsentierende Korrekturinformation ( $ici_{opt}$ ) abgeleitet wird, und

30 - daß die Subträger ( $st1\dots n$ ) des empfangenen Multiträgersig-  
nals (ms) entsprechend der ermittelten Korrekturinformation  
( $ici_{opt}$ ) korrigiert werden.

2. Verfahren nach Anspruch 1,

35 dadurch gekennzeichnet,

25 daß mehrere unterschiedliche Teststörungen ( $icix$ ) vorgesehen  
sind, wobei bei einer Teststörung ( $icix$ ) die Subträger  
( $st1\dots n$ ) durch eine konstante oder frequenzabhängige Störin-  
formation ( $icil\dots 4$ ) gezielt gestört werden.

30 3. Verfahren nach Anspruch 2,

45 dadurch gekennzeichnet,

- daß aus dem empfangenen Multiträgersignal (ms) die fre-  
quenzdiskreten Subträger ( $st1\dots n$ ) repräsentierende Empfangs-  
symbole ( $es1\dots n$ ) abgeleitet werden,

35 - daß  $k$  unterschiedlich definierte Referenz-Störimformationen  
( $icil\dots 4$ ) vorgesehen sind, wobei jeweils für jede Referenz-  
Störimformation ( $icil\dots 4$ )

5

24

-- (a) die Empfangssymbole ( $es_{1..n}$ ) der um jeweils zumindest einen Teil der Subträger ( $st_i$ ) im Frequenzbereich benachbart angeordneten Subträger ( $st_{i-1}, st_{i+1}$ ) jeweils mit der Referenz-Störinformation ( $ic_{1..4}$ ) gestört werden und anschließend die gestörten Empfangssymbole der benachbarten Subträger ( $st_{i-1}, st_{i+1}$ ) als gezielte Teststörungen ( $ic_{ix-1}, ic_{ix+1}$ ) dem Empfangssymbol ( $es_{1..n}$ ) des zusätzlich gestörten Subträger ( $st_i$ ) additiv überlagert werden,

10 -- (b) daß die zusätzlich gezielt gestörten Empfangssymbole ( $es'_{1..n}$ ) jeweils mit dem nächstliegenden modulationsspezifischen Modulationssymbol verglichen werden und in Abhängigkeit von den Vergleichsergebnissen subträgerspezifische Fehlerinformationen ( $\Delta e_{1..n}$ ) gebildet werden, und

15 -- (c) aus den subträgerspezifischen Fehlerinformationen ( $\Delta e_{1..n}$ ) eine Störinformationspezifische Summen-Fehlerinformation ( $se_{1..k}$ ) gebildet wird,

20 - (d) daß aus den  $k$  Referenz-Störinformationen ( $ic_{1..k}$ ) und den  $k$  Summen-Fehlerinformationen ( $se_{1..k}$ ) die Korrekturinformation ( $ici_{opt}$ ) abgeleitet wird.

## 4. Verfahren nach Anspruch 3,

dadurch gekennzeichnet,

35 25 - daß die aus dem empfangenen Multiträgersignal ( $ms$ ) abgeleiteten frequenzdiskreten Empfangssymbole ( $es_{1..n}$ ) solange verzögert oder zwischengespeichert werden, bis die Korrekturinformation ( $ici_{opt}$ ) bestimmt ist,

40 30 - (e) daß die verzögerten Empfangssymbole ( $ves_{1..n}$ ) der um jeweils einen Subträger ( $st_i$ ) im Frequenzbereich benachbart angeordneten Subträger ( $st_{i-1}, st_{i+1}$ ) jeweils mit der ermittelten Korrekturinformation ( $ici_{opt}$ ) korrigiert werden und anschließend dem verzögerten Empfangssymbol ( $ves_{1..n}$ ) des Subträgers ( $st_i$ ) additiv überlagert werden.

50

55

5

25

5. Verfahren nach Anspruch 3 oder 4,  
**dadurch gekennzeichnet,**  
10 daß durch die k Referenz-Störinformationen ( $icil_{...k}$ ) und die k daraus abgeleiteten, störinformationspezifischen Summen-Fehlerinformationen ( $se_{...k}$ ) eine Korrekturfunktion (KF) bestimmt ist, mit deren Hilfe die Korrekturinformation ( $ici_{opt}$ ) berechnet wird.

15

6. Verfahren nach Anspruch 5,

10 **dadurch gekennzeichnet,**

- daß vier definierte Referenz-Störinformationen ( $icil_{...4}$ ) vorgesehen sind, mit deren Hilfe die vier störinformationspezifischen Summen-Fehlerinformationen ( $se_{...4}$ ) abgeleitet werden,
- 15 - daß die Korrekturinformation ( $ici_{opt}$ ) durch

25

$$ici_{opt} = \left( \frac{se_4 - (se_1 + se_3)}{2(se_1 - se_3)} \right) \cdot (icil - ici_3) + \frac{ici_4}{2}$$

30

berechnet wird, wobei

20  $se_{...4}$  die vier Summen-Fehlerinformationen ( $se_{...4}$ ), und  
35  $icil_{...4}$  die vier Referenz-Störinformationen ( $icil_{...4}$ ) repräsentieren.

7. Verfahren nach Anspruch 3 oder 4,

25 **dadurch gekennzeichnet,**  
40 daß die Korrekturinformation ( $ici_{opt}$ ) im Rahmen einer iterativen Suche ermittelt wird, wobei die k Referenz-Störinformationen ( $icil_{...4}$ ) im Rahmen der iterativen Suche bestimmt werden und die Schritte (a) bis (c) wiederholt werden, bis  
45 30 ein minimaler Wert der störinformationspezifischen Summen-Fehlerinformationen ( $\epsilon_{min}$ ) ermittelt und daraus die Korrekturinformation ( $ici_{opt}$ ) abgeleitet wird.

50

35

55

5

26

8. Verfahren nach einem der Ansprüche 3 bis 7,  
dadurch gekennzeichnet,  
daß die zusätzlich gezielt gestörten Empfangssymbole ( $es'1...n$ )  
vor dem Vergleich mit dem jeweils nächstliegenden modulati-  
onsspezifischen Modulationssymbol jeweils in Abhängigkeit von  
frequenzselektiven Übertragungseigenschaften ( $H(f)$ ) des Über-  
tragungsmediums (FK) entzerrt werden.

15

9. Verfahren nach einem der Ansprüche 3 bis 8,  
dadurch gekennzeichnet,  
- daß nach Durchführung der Schritte (a) bis (d) jeweils für  
jede Referenz-Störinformation ( $icil...4$ )  
-- ( $a'$ ) die Empfangssymbole ( $es1...n$ ) der um jeweils zumindest  
einen Teil der Subträger ( $st_i$ ) im Frequenzbereich ent-  
fernter angeordneten Subträger ( $st_{i-b}$ ,  $st_{i+b}$ , wobei  $b >$   
1) jeweils mit der Referenz-Störinformation ( $icil...4$ )  
gestört werden und anschließend die gestörten  
Empfangssymbole als gezielte Teststörungen ( $icix_{-1},$   
 $icix_{+1}$ ) dem Empfangssymbol ( $es1...n$ ) des zusätzlich ge-  
störten Subträgers ( $st_i$ ) additiv überlagert werden,  
und  
-- anschließend die Schritte (b) bis (d) durchgeführt werden.

20

25

30

35

10. Verfahren nach einem der Ansprüche 2 bis 9,  
dadurch gekennzeichnet,  
- daß die mit den Korrekturinformationen ( $ici_{opt}$ ) korrigierten  
Empfangssymbole ( $ves'1...n$ ) demoduliert werden,  
- daß mit Hilfe von in die übermittelten Informationen einge-  
fügten Fehlererkennungs-Informationen in den demodulierten  
Empfangssymbolen ( $di$ ) Fehler erkannt und erkannte, fehler-  
hafte Empfangssymbole ( $es'1...n$ ,  $es''1...n$ ) korrigiert werden,  
- daß bei erkannten Fehlern die Schritte (b) bis (d) erneut  
durchgeführt werden, wobei für die Ermittlung der Korrek-  
turinformation ( $ici_{opt}$ ) die korrigierten Empfangssymbole  
( $es'1...n$ ,  $es''1...n$ ) verwendet werden.

40

45

50

55

5

27

11. Verfahren nach einem der vorherigen Ansprüche,  
dadurch gekennzeichnet,  
daß das Multiträgerverfahren durch ein OFDM-Übertragungsver-  
fahren - Orthogonal Frequency Division Multiplexing - oder  
durch ein auf diskreten Multitönen - DMT - basierendes Über-  
tragungsverfahren realisiert ist.

10

12. Verfahren nach einem der vorherigen Ansprüche,  
dadurch gekennzeichnet,  
daß das Übertragungsmedium als drahtloser Funkkanal oder lei-  
tungs- oder drahtgebundener Übertragungskanal ausgestaltet  
ist.

20

13. Verfahren nach Anspruch 12,  
dadurch gekennzeichnet,  
daß die Informationen über Energieversorgungsleitungen über-  
mittelt werden.

30

14. Verwendung des erfindungsgemäßen Verfahrens nach einem  
der vorherigen Ansprüche,  
dadurch gekennzeichnet,  
- daß das empfangene Multiträgersignal (ms) demoduliert wird,  
- daß mit Hilfe einer Fehlerbehandlungsroutine im demodulier-  
ten Multiträgersignal (di) enthaltene Fehler erkannt und  
korrigiert werden,  
- daß in Abhängigkeit von der Anzahl und der Korrigierbarkeit  
der Fehler das Verfahren zum gezielten Stören des empfange-  
nen Multiträgersignals (ms) durchgeführt wird.

35

15. Empfangsanordnung zum Empfang eines mehrere frequenzdis-  
krete Subträger (st1...n) aufweisenden Multiträgersignals (ms),  
in welches mit Hilfe eines Multiträgerverfahrens in frequenz-  
diskrete Modulationssymbole umgewandelte Informationen einge-  
fügt sind,  
wobei die einzelnen frequenzdiskreten Subträger (st1...n) des  
über ein Übertragungsmedium (FK) übermittelten Multiträger-  
signals (ms) jeweils durch im Frequenzbereich benachbart an-

40

50

55

5

28

geordnete Subträger ( $st1...n$ ) verursachte, subträgerspezifische Störungen ( $ici_0$ ) aufweisen,  
dadurch gekennzeichnet,

10

- daß Störmittel ( $RM1...4$ ) zur zusätzlichen, gezielten Störung des empfangenen Multiträgersignals ( $ms$ ) vorgesehen sind,
- daß Mittel ( $ASW$ ) zur Ableitung einer die subträgerspezifischen Störungen ( $ici_0$ ) repräsentierenden Korrekturinformation ( $ici_{opt}$ ) aus den zusätzlich gezielt gestörten Subträgern ( $st1...n$ ,  $es'1...n$ ,  $es''1...n$ ) angeordnet sind,
- 10 - daß Mittel ( $KE$ ) zur Korrektur der frequenzdiskreten Subträger ( $st1...n$ ,  $ves1...n$ ) entsprechend der ermittelten Korrekturinformation ( $ici_{opt}$ ) vorgesehen sind.

20

25

30

35

40

45

50

55

1/4

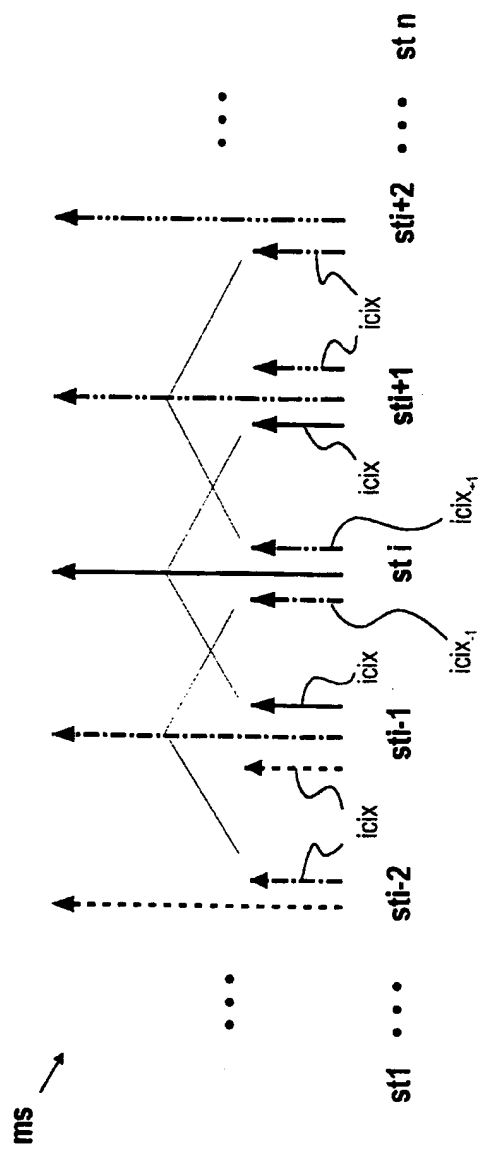
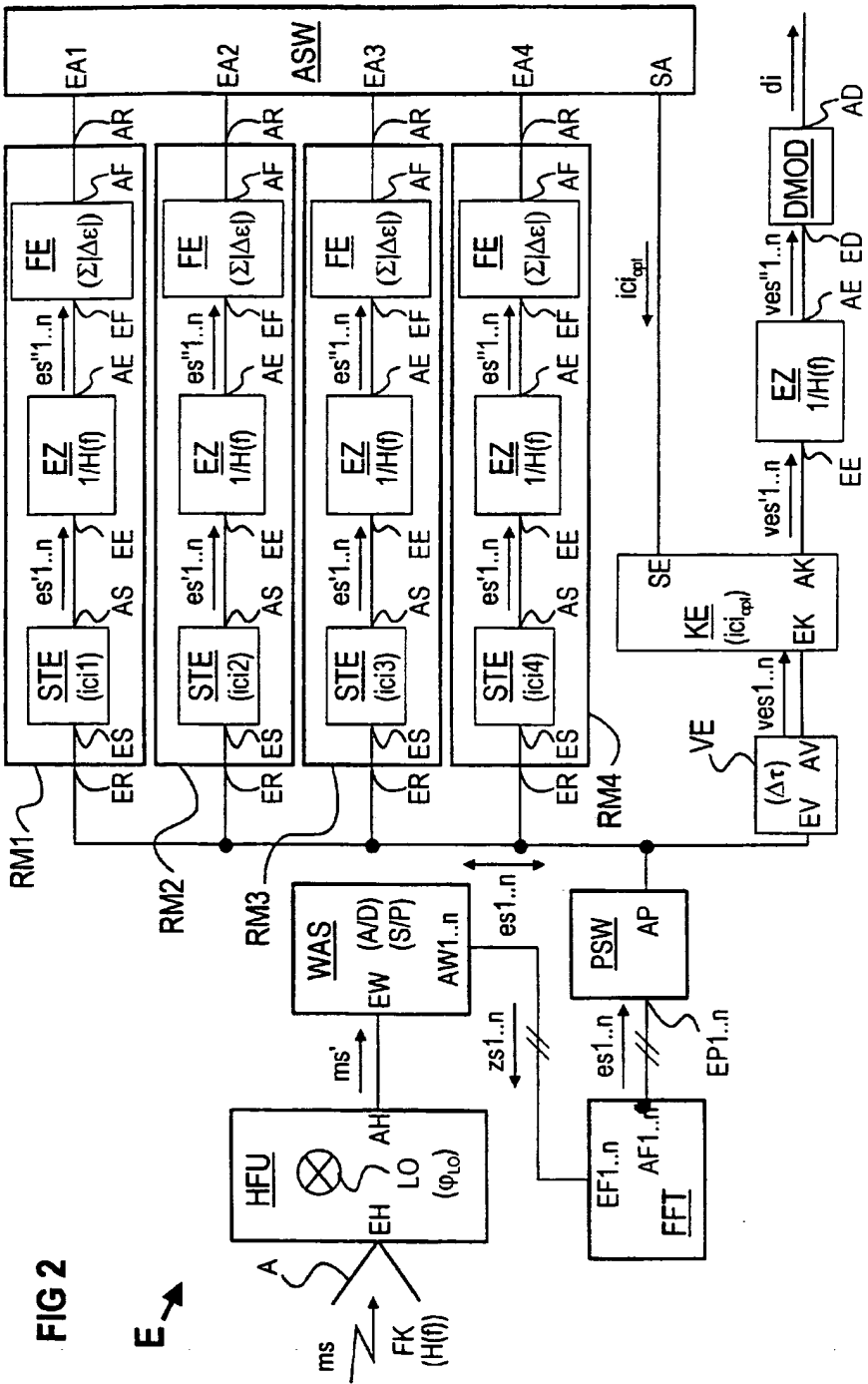


FIG 1

2/4



3/4

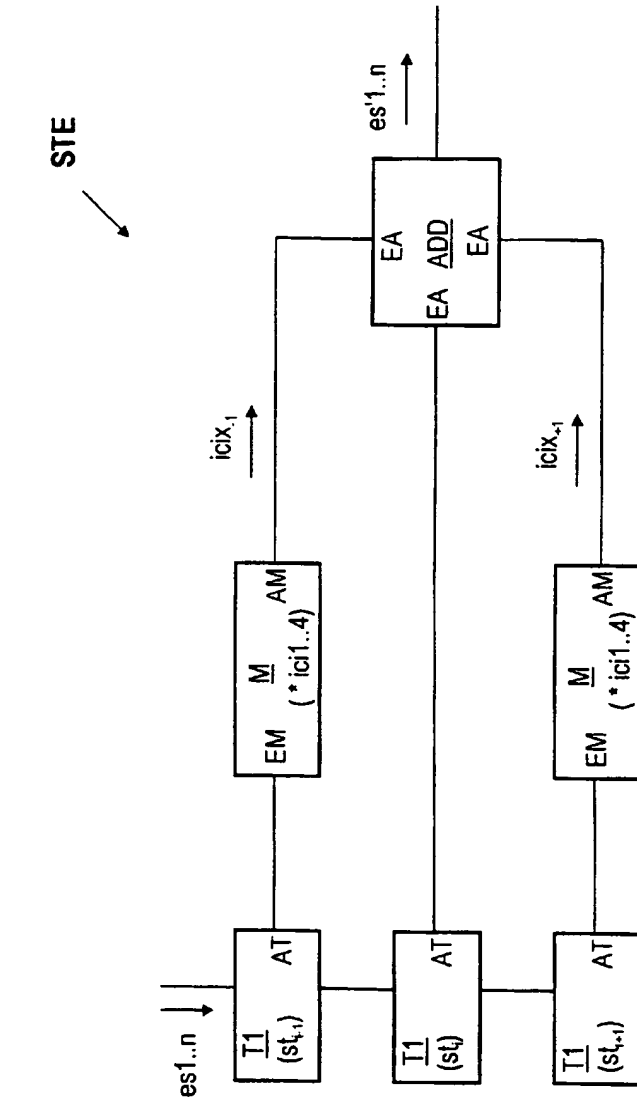


FIG 3

4/4

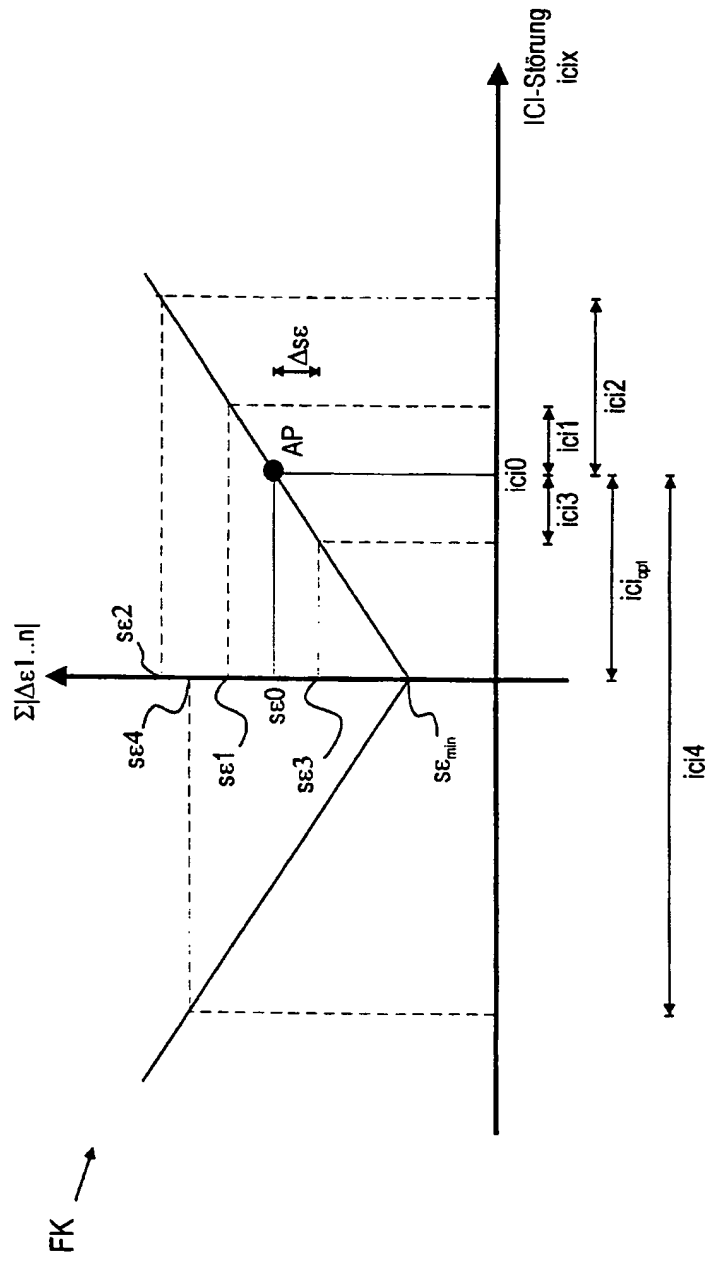


FIG 4

**INTERNATIONAL SEARCH REPORT**

Internatinal Application No PCT/DE 00/00699
--

A. CLASSIFICATION OF SUBJECT MATTER IPC 7 H04L27/26 H04L25/03
--

According to International Patent Classification (IPC) or to both national classification and IPC
---

B. FIELDS SEARCHED
--------------------

Minimum documentation searched (classification system followed by classification symbols) IPC 7 H04L
---

Documentation searched other than minimum documentation to the extent that such documents are included in the fields searched
---

Electroic data base consulted during the international search (name of data base and, where practical, search terms used)
---

EPO-Internal, WPI Data, PAJ, INSPEC, IBM-TDB, COMPENDEX
---

C. DOCUMENTS CONSIDERED TO BE RELEVANT
--

Category	Citation of document, with indication, where appropriate, of the relevant passages	Relevant to claim No.
A	ARMSTRONG J: "Analysis of new and existing methods of reducing intercarrier interference due to carrier frequency offset in OFDM" IEEE TRANSACTIONS ON COMMUNICATIONS, MARCH 1999, IEEE, USA, vol. 47, no. 3, pages 365-369, XP002142839 ISSN: 0090-6778 the whole document ---	1,15 -/-

<input checked="" type="checkbox"/> Further documents are listed in the continuation of box C.
--

<input checked="" type="checkbox"/> Patent family members are listed in annex.
--

\* Special categories of cited documents :

- \*A\* document defining the general state of the art which is not considered to be of particular relevance
- \*E\* earlier document but published on or after the international filing date
- \*L\* document which may throw doubts on priority claim(s) or which is cited to establish the publication date of another citation or other special reason (as specified)
- \*O\* document referring to an oral disclosure, use, exhibition or other means
- \*P\* document published prior to the international filing date but later than the priority date claimed

\*T\* later document published after the international filing date or priority date and not in conflict with the application but cited to understand the principle or theory underlying the invention

\*X\* document of particular relevance; the claimed invention cannot be considered novel or cannot be considered to involve an inventive step when the document is taken alone

\*Y\* document of particular relevance; the claimed invention cannot be considered to involve an inventive step when the document is combined with one or more other such documents, such combination being obvious to a person skilled in the art

\*M\* document member of the same patent family

Date of the actual compilation of the international search
--

24 July 2000
--------------

Date of mailing of the international search report
--

02/08/2000
------------

Name and mailing address of the ISA European Patent Office, P.O. 5018 Patentstaan 2 NL - 2280 HV Rijswijk Tel. (+31-70) 340-2040, Tx. 31 651 epo nl. Fax: (+31-70) 340-3016
---

Authorized officer
--------------------

Koukourlis, S
---------------

**INTERNATIONAL SEARCH REPORT**

International Application No  
PCT/DE 00/00699

C(Continuation) DOCUMENTS CONSIDERED TO BE RELEVANT		
Category *	Citation of document, with indication, where appropriate, of the relevant passages	Relevant to claim No.
A	ZHAO Y ET AL: "Sensitivity to Doppler shift and carrier frequency errors in OFDM systems-the consequences and solutions" PROCEEDINGS OF VEHICULAR TECHNOLOGY CONFERENCE - VTC, 28 April 1996 (1996-04-28) - 1 May 1996 (1996-05-01), pages 1564-1568 vol.3, XP002142840 New York, NY, USA ISBN: 0-7803-3157-5 the whole document	1,15
A	ROBERTSON P ET AL: "Analysis of the effects of phase-noise in orthogonal frequency division multiplex (OFDM) systems" PROCEEDINGS IEEE INTERNATIONAL CONFERENCE ON COMMUNICATIONS ICC '95 , 18 - 22 June 1995, pages 1652-1657 vol.3, XP002142841 New York, USA ISBN: 0-7803-2486-2 the whole document	1,15
A	US 5 416 767 A (KOPPELAAR ARIE G C ET AL) 16 May 1995 (1995-05-16) abstract claim 3	1,8,15

**INTERNATIONAL SEARCH REPORT**

Information on patent family members

International Application No  
PCT/DE 00/00699

Patent document cited in search report	Publication date	Patent family member(s)		Publication date
US 5416767 A	16-05-1995	CA 2115118 A	09-08-1994	EP 0613267 A 31-08-1994

# INTERNATIONALER RECHERCHENBERICHT

Int. Anzeichen  
PCT/DE 00/00699

<b>A. KLASIFIZIERUNG DES ANMELDUNGSGEGENSTANDES</b> IPK 7 H04L27/26 H04L25/03		
Nach der Internationalen Patentklassifikation (IPK) oder nach der nationalen Klassifikation und der IPK		
<b>B. RECHERCHIERTE GEBIETE</b> Recherchiertes Mindestprässtoff (Klassifikationssystem und Klassifikationssymbole) IPK 7 H04L		
Recherchierte aber nicht zum Mindestprässtoff gehörende Veröffentlichungen, soweit diese unter die recherchierten Gebiete fallen		
Während der Internationalen Recherche konsultierte elektronische Datenbank (Name der Datenbank und evtl. verwendete Suchbegriffe) EPO-Internal, WPI Data, PAJ, INSPEC, IBM-TDB, COMPENDEX		
<b>C. ALS WESENTLICH ANGSEHENE UNTERLAGEN</b>		
Kategorie*	Bezeichnung der Veröffentlichung, soweit erforderlich unter Angabe der in Betracht kommenden Teile	Betr. Anspruch Nr.
A	<p>ARMSTRONG J: "Analysis of new and existing methods of reducing intercarrier interference due to carrier frequency offset in OFDM"          IEEE TRANSACTIONS ON COMMUNICATIONS, MARCH 1999, IEEE, USA,          Bd. 47, Nr. 3, Seiten 365-369,          XP002142839          ISSN: 0090-6778          das ganze Dokument</p> <p>---</p> <p style="text-align: center;">-/—</p>	1,15
<input checked="" type="checkbox"/> Weitere Veröffentlichungen sind der Fortsetzung von Feld C zu entnehmen		<input checked="" type="checkbox"/> Siehe Anhang Patentfamilie
<small>* Besondere Kategorien von angegebenen Veröffentlichungen :</small> <ul style="list-style-type: none"> <li>*A* Veröffentlichung, die den allgemeinen Stand der Technik definiert, aber nicht als besonders bedeutsam anzusehen ist</li> <li>*E* älteres Dokument, das jedoch erst am oder nach dem internationalen Anmeldedatum veröffentlicht worden ist</li> <li>*L* Veröffentlichung, die geeignet ist, einen Prioritätsanspruch zweifelhaft erscheinen zu lassen, oder durch die das Veröffentlichungsdatum einer anderen im Recherchenbericht genannten Veröffentlichung belegt werden soll oder die aus einem anderen besonderen Grund angegeben ist (wie ausgeführt)</li> <li>*O* Veröffentlichung, die sich auf eine mündliche Offenbarung, eine Benutzung, eine Ausstellung oder andere Maßnahmen bezieht</li> <li>*P* Veröffentlichung, die vor dem internationalen Anmeldedatum, aber nach dem beanspruchten Prioritätsdatum veröffentlicht worden ist</li> </ul> <small>*T* Spätere Veröffentlichung, die nach dem internationalen Anmeldedatum oder dem Prioritätsdatum veröffentlicht worden ist und mit der Anmeldung nicht kollidiert, sondern nur zum Verständnis des der Erfindung zugrundeliegenden Prinzips oder der ihr zugrundeliegenden Theorie angegeben ist</small> <small>*X* Veröffentlichung von besonderer Bedeutung; die beanspruchte Erfindung kann allein aufgrund dieser Veröffentlichung nicht als neu oder auf erfinderischer Tätigkeit beruhend betrachtet werden</small> <small>*Y* Veröffentlichung von besonderer Bedeutung; die beanspruchte Erfindung kann nicht als auf erfinderischer Tätigkeit beruhend betrachtet werden, wenn die Veröffentlichung mit einer oder mehreren anderen Veröffentlichungen dieser Kategorie in Verbindung gebracht wird und diese Verbindung für einen Fachmann nahelegend ist</small> <small>*Z* Veröffentlichung, die Mitglied derselben Patentfamilie ist</small>		
Datum des Abschlusses der Internationalen Recherche	Absendedatum des Internationalen Recherchenberichts	
24. Juli 2000	02/08/2000	
Name und Postanschrift der Internationalen Recherchenbehörde	Bevollmächtigter Bediensteter	
Europäisches Patentamt, P.B. 5818 Patentbaan 2 NL - 2280 HV Rijswijk Tel. (+31-70) 340-2040, Tx. 31 851 epo nl. Fax: (+31-70) 340-3016	Koukourlis, S	

**INTERNATIONALER RECHERCHENBERICHT**

Internationales Aktenzeichen  
PCT/DE 00/00699

C.(Fortsetzung) ALS WESENTLICH ANGESEHENE UNTERLAGEN		
Kategorie*	Bezeichnung der Veröffentlichung, soweit erforderlich unter Angabe der in Betracht kommenden Teile	Betr. Anspruch Nr.
A	ZHAO Y ET AL: "Sensitivity to Doppler shift and carrier frequency errors in OFDM systems-the consequences and solutions" PROCEEDINGS OF VEHICULAR TECHNOLOGY CONFERENCE - VTC, 28. April 1996 (1996-04-28) - 1. Mai 1996 (1996-05-01), Seiten 1564-1568 vol.3, XP002142840 New York, NY, USA ISBN: 0-7803-3157-5 das ganze Dokument	1,15
A	ROBERTSON P ET AL: "Analysis of the effects of phase-noise in orthogonal frequency division multiplex (OFDM) systems" PROCEEDINGS IEEE INTERNATIONAL CONFERENCE ON COMMUNICATIONS ICC '95 18. - 22. Juni 1995, Seiten 1652-1657 vol.3, XP002142841 New York, USA ISBN: 0-7803-2486-2 das ganze Dokument	1,15
A	US 5 416 767 A (KOPPELAAR ARIE G C ET AL) 16. Mai 1995 (1995-05-16) Zusammenfassung Anspruch 3	1,8,15

## INTERNATIONALER RECHERCHENBERICHT

Angaben zu Veröffentlichungen, die zur selben Patentfamilie gehören

Internationales Aktenzeichen  
PCT/DE 00/00699

Im Recherchenbericht angeführtes Patentdokument	Datum der Veröffentlichung	Mitglied(er) der Patentfamilie	Datum der Veröffentlichung
US 5416767 A	16-05-1995	CA 2115118 A	09-08-1994
		EP 0613267 A	31-08-1994
		JP 6252878 A	09-09-1994